

بررسی اثر جداگانه و ترکیبی طوق و شمع فداشونده در آبشنستگی موضعی گروه‌پایه پل

سید محمدعلی زمردیان^{۱*}، حمیده غفاری^۲، زهرا قاسمی^۳

۱. دانشیار، بخش مهندسی آب دانشگاه شیراز

۲. دانشجوی کارشناسی ارشد، بخش مهندسی آب دانشگاه شیراز

۳. دانشجوی کارشناسی ارشد، بخش مهندسی آب دانشگاه شیراز

(تاریخ دریافت: ۱۳۹۵/۵/۱۸ - تاریخ بازنگری: ۱۳۹۵/۱۰/۱۲ - تاریخ تصویب: ۱۳۹۵/۱۱/۱۸)

چکیده

شناخت پدیده مخرب آبشنستگی در اطراف پایه‌های پل و ارائه راهکارهای مقابله با آن ضروری می‌باشد. در این پژوهش بهمنظور کنترل آبشنستگی در اطراف گروه‌پایه از شمع‌های فداشونده، طوق مربعی و کاربرد تؤام آن‌ها استفاده شده است. گروه‌پایه دو و سه‌تایی در امتداد یک خط و با فاصله ۲.۵D در جهت طولی و عرضی جریان و در شرایط آب زلال مورد بررسی قرار گرفت. نتایج نشان می‌دهد که در گروه‌پایه در جهت جریان، استفاده از شمع‌های فداشونده منجر به کنترل کامل آبشنستگی در پایه پشتی می‌شود. طوق تأثیر بیشتری در کاهش آبشنستگی پایه جلویی به میزان ۷۲/۲۲٪ و ۶۹/۲۳٪ به ترتیب در گروه‌پایه دوتایی و سه‌تایی نشان داد و کاربرد تؤام آن‌ها منجر به کاهش بیشتر آبشنستگی در تک‌تک پایه‌ها شده است. در گروه‌پایه دو و سه‌تایی عمود بر جریان روش ترکیبی به ترتیب با کاهش ۵۷/۱۴٪ و ۶۷/۵٪ آبشنستگی، بیشترین تأثیر را نسبت به کاربرد جداگانه آن‌ها نشان داد.

واژه‌های کلیدی: آبشنستگی موضعی، گروه‌پایه، طوق، شمع فداشونده

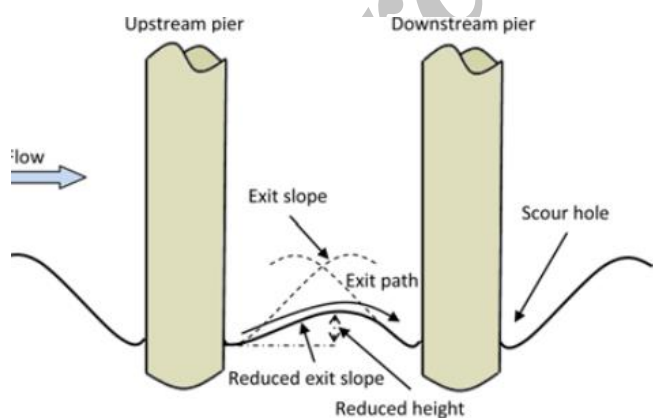
مقدمه

منجر به تخمین غیرقابل اطمینانی از عمق آبشنستگی می‌شود. آبشنستگی در اطراف پایه پل به دلیل تشکیل سیستم گردابی پیچیده‌ای است که با برخورد جریان به پایه و جدا شدن آن، تشکیل می‌شود و از مهم‌ترین آن‌ها می‌توان به سیستم جریان‌های رو به پایین، گرداب نعل اسبی و گرداب‌های برخاستگی اشاره کرد که عملکرد آن‌ها باعث تشکیل گودال آبشنستگی می‌شود. علاوه بر موارد ذکر شده، دو مکانیزم مهم که باعث پیچیده‌تر شدن الگوی آبشنستگی در حالت گروه‌پایه نسبت به تک پایه می‌شود عبارت است از عامل تقویت‌کننده (Reinforcing) و عامل حفاظت کننده (Sheltering). عامل تقویت‌کننگی باعث افزایش عمق آبشنستگی در پایه جلویی می‌شود و عامل حفاظت بودن به این معناست که وجود پایه بالادست سبب کاهش سرعت جریان و در نهایت کاهش آبشنستگی در پایه پایین‌دست می‌شود (Raudkivi, 1998). در شکل (۱) به صورت شماتیک آبشنستگی در اطراف پایه‌های دوتایی عمود بر جریان نشان داده است؛ بنابراین مطالعات بیشتر روی گروه‌پایه‌ها و آبشنستگی ناشی از آن‌ها و ارائه تکنیک‌های مقابله با این پدیده ضروری می‌باشد. از جمله مطالعاتی که در زمینه آبشنستگی در حالت گروه‌پایه انجام گرفته است می‌توان به کارهای Hannah (1986) Nouh (1978)، Vittal et al. (1991) Raudkivi (1994) و Breusers

آبشنستگی موضعی اطراف پایه‌های پل یکی از مسائل مهم در مهندسی رودخانه می‌باشد که با گذشت زمان و به خصوص در هنگام سیلاب پتانسیل به خطر انداختن پایداری پل و همچنین پایداری سازه‌های جانبی را دارد. علیرغم پیشرفت‌های قابل توجه در فنون تحلیل و طراحی سازه‌ای، هرساله پل‌های زیادی در سراسر جهان در اثر پدیده آبشنستگی تخریب و منجر به خسارات زیادی می‌گردند؛ بنابراین مطالعات بیشتر در زمینه هیدرولیک پل و آبشنستگی موضعی در کنار اصول علمی طراحی سازه‌ای ضروری است و لازمه ارائه تکنیک‌های مقابله با این پدیده مخرب می‌باشد. در طراحی پل‌ها به دلایل اقتصادی و ژئوتکنیکی از گروه‌پایه استفاده می‌شود تا بار سازه‌ای پل به صورت گستردۀ به پی وارد شود و همچنین نسبت به تک پایه معادل با آن که دارای ضخامت بیشتری است، آبشنستگی کمتری را ایجاد کند. تاکنون مطالعات زیادی در زمینه آبشنستگی موضوعی در حالت تک پایه صورت گرفته است و روابط زیادی نیز جهت تخمین عمق آبشنستگی توسط محققین ارائه شده است اما به دلیل اینکه مکانیسم آبشنستگی در حالت گروه‌پایه با تک پایه متفاوت و پیچیده‌تر است، کاربرد این روابط در حالت گروه‌پایه

* نویسنده مسئول: mzomorod@shirazu.ac.ir

پایه در برابر آبستگی محافظت می‌کنند (Haque *et al.*, 1999) با مطالعه تأثیر شمع‌های فدا شونده در کاهش آبستگی پایه پل به این نتیجه رسیدند که تعداد بیشتر شمع‌ها تأثیر بیشتری در محافظت از پایه دارد که با افزایش فاصله بین شمع‌ها این اثر کاهش می‌یابد. چیدمان شمع‌ها در پژوهش آن‌ها به صورت مثلثی و به‌گونه‌ای که رأس مثلث به سمت بالادست و در جلوی پایه قرار می‌گرفت، بود. آن‌ها همچنین نشان دادند که زاویه بین شمع‌ها در رأس مثلث در کاهش عمق آبستگی تأثیرگذار است به‌گونه‌ای که با افزایش زاویه از 30° درجه به 53° درجه تأثیر آن در حفاظت پایه کاهش می‌یابد. Heidarpour *et al.* (2007) با بررسی تأثیر شکاف در میزان آبستگی گروه‌پایه دو و سه‌تایی در امتداد یک خط به این نتیجه رسیدند که در گروه‌پایه با فاصله دو برابر قطر پایه، کارایی شکاف برای کلیه پایه‌ها یکسان و برابر تک پایه می‌باشد و با افزایش فاصله بین پایه‌ها عملکرد شکاف در پایه جلویی به علت کاهش عامل تقویت‌کنندگی و در پایه عقبی به علت کاهش تأثیر گردادهای جاری افزایش می‌یابد. مطالعات زیادی در زمینه کنترل آبستگی موضعی در گروه‌پایه‌ها وجود ندارد و تمرکز مطالعات روی تک پایه می‌باشد. با توجه به اهمیت موضوع آبستگی پایه پل و کاربرد گسترده گروه‌پایه به‌جای تک پایه در طراحی پل‌ها، در این پژوهش با به‌کارگیری شمع‌های فدا شونده و طوق مربعی و همچنین روش نوین ترکیب آن‌ها، به مطالعه و کنترل آبستگی در گروه‌پایه پرداخته شده است که تاکنون بررسی نشده است.



شکل ۱. آبستگی اطراف دو پایه در امتداد جریان (Nazariha, 1996)

آنالیز ابعادی
آبستگی یک پدیده بسیار پیچیده است و تعداد پارامترهای مؤثر بر آبستگی موضعی پایه‌ی پل بسیار زیاد می‌باشد، بنابراین منظور کردن تأثیر کلیه پارامترها در آبستگی بسیار پیچیده و مشکل می‌باشد؛ بنابراین با گروه‌بندی مقادیر مهم

(1999) Valentine و Babaeyan-Koopaei, (1996) Nazariha, (2006) Zarrati *et al.*, (2006) Beheshti Ataei-Ashtiani Ataei-, (2010) Cesme و Bozkus, (2010) Heidarpour *et al.* Movahedi *et al.*, (2012) Aslani-Kordkandi و Ashtiani, (2013) Ozalp, (2015) Beg و Beg, (2014) Beg, (2014) Amini و Hosseini, (2013) Diwedar, (2013) Gao *et al* (2015) و غیره اشاره کرد که هر یک بهنوعی با تغییر در تعداد، آرایش و فاصله بین پایه‌ها در جهت جریان و همچنین در جهت عمود بر جریان، میزان آبستگی شکل‌گرفته را موردمطالعه قرار داده‌اند. به‌طورکلی دو روش اساسی جهت مقابله با آبستگی وجود دارد، روش‌های هیدرولیکی که با منحرف کردن جریان اطراف پایه، از آن محافظت می‌کنند و روش‌های غیر هیدرولیکی که با مقاوم‌سازی بستر، آبستگی را کنترل می‌کنند (Melville and Sutherland, 1989). درواقع روش‌های هیدرولیکی به‌منظور تغییر الگوی جریان و کاهش شدت گردادهای ایجادشده در اطراف پایه که جریان‌های رو به پایین، گرداد نعل اسبی و گردادهای برخاستگی از مهم‌ترین آن‌ها هستند به کار می‌روند. تاکنون بیش از ده روش گوناگون از این دسته برای کنترل آبستگی پیشنهاد شده است از جمله، ایجاد شکاف در پایه، نصب طوق، شمع‌های فدا شونده، پره‌های مستغرق، کابل و غیره (Tafarojnoruz *et al.*, 2012). مطالعات زیادی روی اثر هر یک از این روش‌ها در کاهش آبستگی در حالت تک پایه انجام شده است و این در حالی است که استفاده از روش‌های ترکیبی می‌تواند تا حد زیادی آبستگی را کاهش دهد. طوق‌ها صفحاتی تخت با ضخامت ناچیز هستند که روی پایه نصب می‌شوند و مانند مانع و محافظت بستر در برابر جریان‌های رو به پایین و گردادهای نعل اسبی عمل می‌کنند و قدرت این گردادها را مهار می‌کنند Singh *et al.* (2001) با مطالعه روی طوق در جهت کنترل آبستگی، به این نتیجه رسیدند که بهترین محل نصب طوق روی پایه، تراز $0.1D$ زیر سطح بستر رسوب می‌باشد که در این حالت طوق به پهنای $2.5D$ به میزان 100% آبستگی را نسبت به حالت بدون طوق کاهش می‌دهد همچنین بیان نمودند که حداکثر عمق آبستگی با افزایش فاصله بین تراز بستر و تراز نصب طوق، افزایش پیدا می‌کند. Abdelazim *et al.* (2009) با بررسی عملکرد طوق‌ها در برابر آبستگی، به این نتیجه رسیدند که طوق مستطیلی با کاهش ۷۲ درصدی عمق آبستگی بیشترین تأثیر را دارد. شمع‌ها یا پایه‌های فدا شونده که خود نیز ممکن است عاملی برای آبستگی باشند با انحراف جریان و ایجاد یک منطقه با سرعت پایین در جلوی پایه و کم کردن پتانسیل فرسایندگی جریان، از

خلاصه می‌شود:

$$\frac{ds}{D} = f_3 \left(\frac{Vt}{D}, n \right) \quad (\text{رابطه } 3)$$

بنابراین در این پژوهش در حالت تعادل تنها متغیر موجود تعداد پایه‌ها در دو جهت عمود بر جریان و همچنین در جهت جریان می‌باشد، بنابراین با به کارگیری شمع‌های فداشونده، طوق و همچنین ترکیب آن‌ها، میزان آبستگی گروه‌پایه در دو جهت عمود بر جریان و همچنین در راستای جریان با فاصله ثابت 2.5D بین پایه‌ها، با تغییر در تعداد پایه‌ها بررسی شده است.

مواد و روش‌ها

کلیه مطالعات آزمایشگاهی در آزمایشگاه هیدرولیک رسوب دانشکده کشاورزی دانشگاه شیراز انجام شد. آزمایشگاه مجهز به یک کanal بتی به طول ۱۵ متر، عرض ۴۰ سانتیمتر، عمق ۵۰ سانتیمتر و شیب طولی ۰/۰۰۱ می‌باشد. مقطع مستطیلی آزمایش به طول ۲ متر و عمق ۱۶ سانتیمتر انتخاب شد که با بالا آوردن کف کanal در قسمت بالادست و پایین‌دست مقطع آزمایش، ایجاد شد و با رسوبات ماسه‌ای پر شد. بهمنظور اطمینان از توسعه یافتنی جریان قبل از مقطع آزمایشی طول سکوی بالادست ۶ متر انتخاب شد که در بالادست با یک شیب ملایم کاهش ارتفاع می‌دهد. بهمنظور تأثیر نداشتن جریان خروجی روی آبستگی طول سکوی پایین‌دست ۴ متر در نظر گرفته شد. در مقطع آزمایشی بهمنظور مشاهده تغییرات بستر و سطح آب، دیواره‌ها از جنس شیشه‌ای می‌باشند. سیستم تأمین‌کننده آب به صورت گردشی بود که امکان تداوم آزمایش‌ها را برای زمان طولانی فراهم می‌کرد. به این صورت که آب از یک مخزن زیرزمینی به حجم تقریبی ۱۰۰ مترمکعب توسط سه پمپ سانتریفیوژ به درون یک تانک استاتیکی به حجم ۱۲ مترمکعب بهمنظور تأمین هد، پمپ می‌شد. با باز کردن شیر ورودی، آب از طریق لوله به درون یک حوضچه که در ابتدای کanal قرار داشت وارد می‌شد و اغتشاشات سطحی آن توسط توری فلزی گرفته می‌شد. بهمنظور کنترل عمق جریان از یک سرریز مستطیلی لبه تیز با قابلیت بالا و پایین شدن که در انتهای کanal قرار داشت استفاده می‌شد و همچنین از یک دبی سنج خودکار الکترونیکی برای کنترل دبی جریان استفاده شد. کلیه آزمایش‌ها در شرایط آب زلال انجام گرفت. چراکه عمق آبستگی در شرایط آب زلال بیشتر از حالت بستر زنده می‌باشد بنابراین نتایجی که با فرض آب زلال به دست می‌آید دست بالاتر و دارای ضریب اطمینان بیشتری نسبت به آبستگی بستر زنده می‌باشد بنابراین محققین در مطالعات آبستگی بیشتر از شرایط بستر زلال استفاده نموده‌اند. پارامترهایی از قبیل دبی

به صورت پارامترهای بی‌بعد، تعداد متغیرهای موجود کاهش می‌یابد. این پارامترها عبارت‌اند از خصوصیات جریان، خصوصیات رسوب و هندسه پایه. پارامترهای مؤثر بر عمق آبستگی پایه پل (ds) عبارت‌اند از عمق جریان (y)، سرعت جریان (V)، قطر پایه (D)، میانگین قطر ذرات (d₅₀) که می‌تواند با رابطه زیر بیان شود:

$$(\text{رابطه } 1)$$

$$ds = f_1(D, V, y, g, \rho_w, v, \rho_s, d_{50}, L, n, t, B, w, k_s, H, n_p, d, S, \beta, X)$$

در این رابطه ρ_w جرم مخصوص آب، v لزجت سینماتیکی جریان، g شتاب نقل، ρ_s جرم مخصوص ذرات جامد، L فاصله بین پایه‌ها، n تعداد پایه‌ها، B عرض فلوم، t زمان، w قطر طوق، k_s ضریب شکل طوق، H تراز نصب طوق نسبت به بستر، n_p تعداد شمع‌های فداشونده، d قطر شمع‌های فداشونده، S فاصله X بین شمع‌های فداشونده، β زاویه بین شمع‌ها در رأس مثلث و فاصله بین پایه تا رأس مثلث شمع‌های فداشونده می‌باشد. با استفاده از تئوری باکینگهام و در نظر گرفتن سرعت جریان، قطر پایه و جرم مخصوص آب به عنوان متغیرهای تکراری، رابطه ۱ به صورت زیر در می‌آید:

$$(\text{رابطه } 2)$$

$$\frac{ds}{D} = f_2 \left(\frac{y}{D}, \frac{D}{d_{50}}, \frac{V}{\sqrt{gD}}, \frac{V \cdot D}{v}, \frac{\rho_s}{\rho_w}, \frac{L}{D}, \frac{Vt}{D}, \frac{B}{D}, \frac{W}{D}, \frac{H}{D}, \frac{d}{D}, \frac{S}{D}, \frac{X}{D}, n_p, k_s, \beta, n \right)$$

محققین زیادی تأثیر پارامترهای بی‌بعد رابطه ۲ را بر آبستگی بررسی نموده‌اند؛ بنابراین اثر هر کدام از پارامترها بر تابع f_2 مشخص می‌باشد. از جمله، اگر $\frac{y}{D} > 3.5$ عمق جریان Chiew and Mellville, 1987، اگر $20 - \frac{D}{d_{50}} > 25$ اندازه رسوبات بستر Raudkivi and Ettema, 1983، همچنین اگر نسبت $6.25 \geq \frac{B}{D}$ دیواره کanal تأثیری بر آبستگی پایه پل ندارد (Raudkivi and Ettema, 1983)، همچنین اگر نسبت $\frac{V \cdot D}{v} > 7000$ باشد بنابراین (Franzetti et al, 1994). اگر عدد رینولدز پایه $\frac{V \cdot D}{\sqrt{gD}}$ بزرگ‌تر از $\frac{V \cdot D}{\sqrt{gD}}$ باشد بنابراین پارامتر $\frac{V}{\sqrt{gD}}$ و همچنین پارامتر $\frac{V}{\sqrt{gD}}$ تأثیری بر آبستگی ندارند (Franzetti et al, 1994). در پژوهش حاضر کلیه پارامترهای بی‌بعد ذکرشده و تأثیرگذار بر تابع f_2 ثابت در نظر گرفته شده است. پارامترهای هیدرولیکی، هندسی و پارامترهای مربوط به سیال ثابت می‌باشند و تنها با تغییر در تعداد پایه‌ها در دو جهت عمود بر جریان و در راستای جریان، تأثیر شمع‌های فداشونده و طوق بر کاهش میزان آبستگی پایه پل بررسی شده است. بنابراین در این پژوهش عمق آبستگی بی‌بعد به صورت زیر

بنابراین با سعی و خطا، دبی جریان ۱۵ لیتر بر ثانیه، عمق جریان ۱۲ cm، سرعت جریان $\frac{m}{s} = ۰/۳۱۲$ ، سرعت آستانه حرکت ذرات $\frac{m}{s} = ۰/۳۴۲$ و $V_c = 0.91V_c$ به دست آمد. برای به دست آوردن زمان تعادل از معیار Kumar *et al.* (1999) استفاده شد و آن مدت زمانی است که تغییرات آبستنگی در سه ساعت متولی بیش از یک میلی متر نباشد. بدین منظور آزمایشی بدون محدودیت زمانی در شرایط ذکر شده در رسوبات ماسه انجام گرفت و با ثبت تغییرات آبستنگی نسبت به زمان، زمان تعادل ۵ ساعت به دست آمد که در شکل (۳) نشان داده شده است. جدول (۱) شرایط جریان را در آزمایش ها نشان می دهد. در این جدول Fr عدد فرود می باشد و بقیه پارامترها قبل از تعریف شده اند. مراحل انجام آزمایش ها به این صورت است که ابتدا پس از اطمینان از تراز بودن پایه ها و نصب تجهیزات لازم، سطح رسوبات با استفاده از تراز تسطیح و هم تراز سکوی بالا دست می شد. پس از روشن شدن پمپ، شیر آب به آرامی باز می شد و سرریز انتهای کanal که برای تنظیم عمق جریان است بالا نگه داشته می شد تا آب به آرامی وارد رسوبات شود و سطح رسوبات به هم ریخته نشود. سپس به آرامی شیر آب بازتر می شد تا پشت سرریز از آب پر شود و هم زمان دبی جریان کنترل می شد. پس از آن سرریز به آرامی پایین آورده می شد تا عمق ۱۲ سانتیمتر و دبی ۱۵ لیتر بر ثانیه تأمین شود. پس از اطمینان از شروع جریان یکنواخت، زمان آزمایش ها به مدت ۵ ساعت آغاز می شد. پس از اتمام آزمایش شیر آب به آرامی بسته می شد و سرریز به آرامی بالا آورده می شد تا از شسته شدن رسوبات و وارد شدن به گودال آبستنگی جلوگیری شود. با گذشت زمان و پس از خشک شدن سطح رسوبات، با استفاده از یک متر لیزری که روی یک ریل قرار می گرفت، پروفیل گودال آبستنگی به صورت شبکه 2×1 سانتیمتر برداشت می شد. در شکل (۴) کanal آزمایشگاهی نشان داده شده است. در این پژوهش از دو و سه پایه با آرایش 2×1 ، 1×2 و 1×3 در جهت عمود بر جریان و همچنین در جهت جریان استفاده شد که فاصله بین پایه ها ثابت و برابر D در نظر گرفته شد. این آرایش ها با توجه به مشخصات کanal و ابعاد مدل به گونه ای انتخاب شده اند که دیواره کanal تأثیری بر آبستنگی نداشته باشد. همچنین مطابق با مطالعات Hannah (1978) که نشان دادند در حالتی که فاصله بین پایه ها برابر با $2.5D$ باشد تأثیر عامل تقویت کننده حداکثر می باشد بنابراین در این پژوهش با انتخاب فاصله $2.5D$ ، شرایط برای تشکیل حداکثر آبستنگی فراهم شده است. در پژوهش پیشین که توسط Gavartii (2015) روی کنترل آبستنگی تک پایه با استفاده از

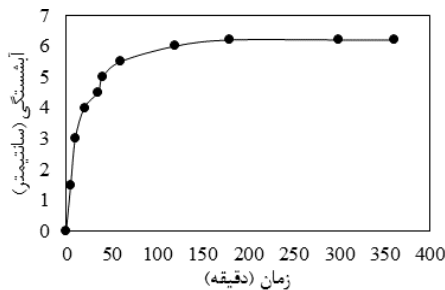
جریان (Q)، سرعت جریان (v)، عمق جریان (y)، اندازه رسوبات بستر (d_{50}) و قطر پایه پل (D) در این پژوهش ثابت در نظر گرفته شده اند و در تعیین مقادیر آن ها از معیارهایی که توسط محققین پیشین ارائه شده است استفاده شد به گونه ای که شرایط برای تشکیل حداکثر آبستنگی موضعی ناشی از پایه پل فراهم باشد. از جمله، برای از بین بردن تأثیر دیواره کanal بر میزان آبستنگی، نسبت فاصله محور پایه تا دیواره کanal به قطر پایه باید بزرگتر از $6/25$ باشد (Raudkivi and Ettema, 1983)، بنابراین با توجه به عرض کanal از پایه های استوانه ای به قطر ۲ سانتیمتر استفاده شده است که این نسبت در حالت دو پایه عرضی برابر با $8/25$ و در حالت سه پایه در جهت عرضی برابر $6/5$ به دست آمد. رسوب مورداستفاده در آزمایش از نوع ماسه ریز و دارای دانه بندی یکنواخت می باشد. برای جلوگیری از تشکیل ریپل در سطح رسوبات قطر متوسط ذرات باستی از $7/0$ میلی متر بزرگتر باشد و برای حذف تأثیر اندازه رسوبات بر آبستنگی قطر متوسط ذرات باید در شرط $25 < \frac{D}{d_{50}}$ صدق کند (Raudkivi and Ettema, 1983). از آنجایی که غیر یکنواختی رسوبات باعث کاهش آبستنگی می شود بنابراین از ماسه با دانه بندی یکنواخت استفاده شد و در صورتی که انحراف معیار هندسی ذرات کوچکتر از $1/3$ باشد ($\sigma_g < 1.3$) شرط یکنواخت بودن ذرات برقرار می باشد (Shafaei-Bejestan, 2011)، بنابراین برای مطابقت با شرایط مذکور از ماسه با $d_{50} = 0.78$ میلی متر و $\sigma_g = 1.25$ استفاده شد. منحنی دانه بندی رسوبات ماسه ای در شکل (۲) نشان داده شده است. Chiew and Mellville (1987) با بررسی آبستنگی موضعی پایه پل در شرایط آب زلال و همچنین بستر زنده در رسوبات ماسه ای (با قطر متوسط برابر با $0/24$ ، $0/16$ ، $0/85$ ، $1/45$ ، $3/2$ میلی متر) در شدت جریان های مختلف $0/9$ ، $0/95$ ، $1/5$ ، 2 ، $3/5$ ، 4 به این نتیجه رسیدند که اگر نسبت عمق جریان به قطر پایه از یک محدوده بیشتر باشد ($\frac{y}{D} > 3.5$) عمق جریان تأثیری بر آبستنگی موضعی اطراف پایه ندارد و حداکثر آبستنگی ایجاد می شود. Raudkivi (1998) شرط تشکیل حداکثر عمق آبستنگی در آب زلال را $V_c \leq 0.95V_c$ پیشنهاد داده است. سرعت آستانه حرکت ذرات است و در این پژوهش با توجه به رابطه پیشنهادی Mellville و Sutherland (1989) (Rabteh ۵) و همچنین رابطه Coleman و Melville (2000) (Rabteh ۶) که در زیر آورده شده است به دست آمده است.

$$V_c = 5.75 U_{*c} \log \left(\frac{y}{d_{50}} \right) \quad (Rabteh 5)$$

$$U_{*c} = 0.0115 + 0.0125(d_{50})^{1.4} \quad (Rabteh 6)$$

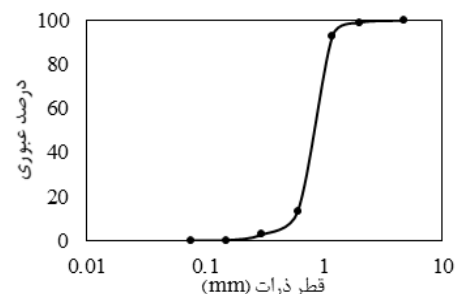
U_{*c} : سرعت برشی بحرانی

پایه نشان داده بود، روی پایه‌ها نصب شد (شکل ۵). همچنین با توجه به معیار Melville و Hadfield (1999) از ۵ شمع فداشونده استفاده شده است که قطر پایه ۶ برابر قطر شمع‌ها می‌باشد؛ بنابراین قطر شمع‌ها $3/33$ میلی‌متر و با آرایش مثلثی با زاویه رأس 30° درجه انتخاب شدند که فاصله رأس مثبت تا پایه برابر $2.5D$ و فاصله شمع‌ها از یکدیگر برابر با D در نظر گرفته شد (شکل ۶).



شکل ۳. منحنی تغییرات آبستستگی نسبت به زمان

روش مجزا و ترکیبی شمع‌های فدا شونده، طوق و شکاف انجام گرفت مشاهده شد که ترکیب دو روش شمع‌های فدا شونده با طوق مربعی بیشترین تأثیر را در کاهش آبستستگی پایه پل دارد؛ بنابراین در همین راستا در پژوهش حاضر شمع‌های فدا شونده و طوق مربعی در حالت گروه پایه مورد بررسی قرار گرفت. طوق مربعی دارای طول ضلع $2.5D$ می‌باشد و در تراز بستر که در پژوهش پیشین بیشترین تأثیر مثبت بر کنترل آبستستگی تک -



شکل ۲. منحنی دانه‌بندی ماسه مورداستفاده

جدول ۱. شرایط جریان در آزمایش‌های انجام شده

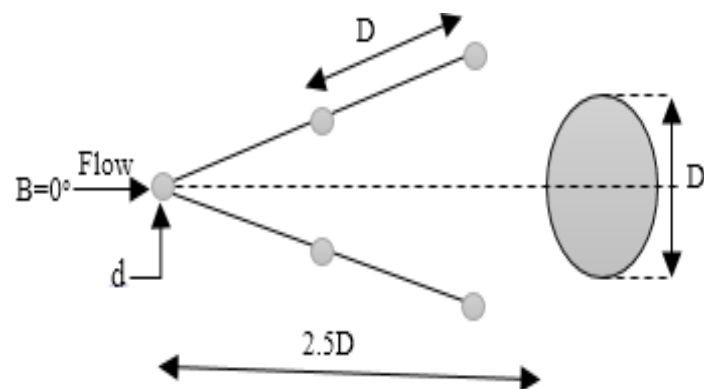
$d_{50}(\text{mm})$	$\frac{D}{d_{50}}$	y(m)	$V_C(\frac{\text{m}}{\text{s}})$	$\frac{y}{D}$	$\frac{V}{V_C}$	Fr
۰/۷۸	۲۵/۶۴	۰/۱۲	۰/۳۴	۶	۰/۹۱	۰/۲۸۸



شکل ۵. نمایی از طوق استفاده شده و گودال آبستستگی ایجاد شده

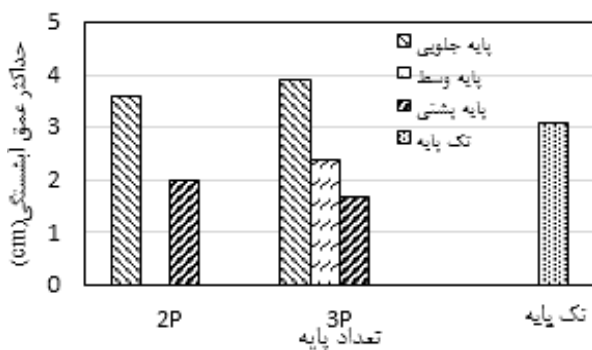


شکل ۴. نمایی کلی از فلوم استفاده شده



شکل ۶. آرایش شمع‌های فداشونده در برابر پایه

میزان آبستنگی نسبت به تک پایه به اندازه ۳۵/۴۸ درصد کاهش داشته است. در حالت گروه پایه سه تایی در جهت جریان، عمق آبستنگی در پایه جلویی ۲۵/۸ درصد نسبت به حالت تک پایه و ۸/۳۳ درصد نسبت به حالت دو پایه در جهت جریان، افزایش آبستنگی نشان داده است؛ بنابراین وجود دو پایه در پشت پایه اول تأثیر عامل تقویت کنندگی در میزان آبستنگی پایه اول را نسبت به حالتی که یک پایه در پشت پایه باشد، پیشتر کرده است. در پایه دوم عمق آبستنگی ۲۲/۵۸ درصد نسبت به تک پایه به علت حفاظت بودن پایه بالادست، کاهش نشان داده است و نسبت به حالت دو پایه، ۲۰ درصد افزایش آبستنگی نشان داده است که به دلیل وجود پایه پایین دست آن و اثر تقویت کنندگی آن در میزان آبستنگی آن می باشد. در پایه سوم عمق آبستنگی ۴۵/۱۶ درصد نسبت به تک پایه کاهش یافته است. اثر حفاظتی دو پایه در بالادست آن، باعث شده است که عمق آبستنگی در این پایه به شدت کاهش پیدا کند. تغییرات آبستنگی در شکل (۸) نشان داده شده است.

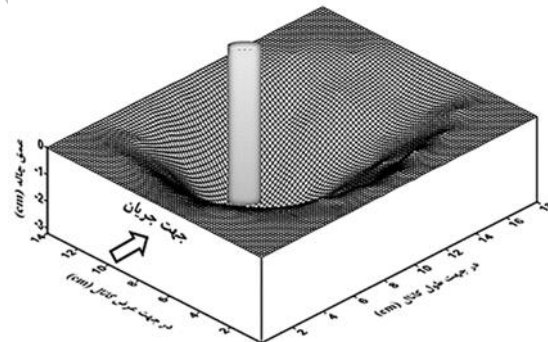


شکل ۸. تغییرات آبستنگی گروه پایه در جهت جریان

به اندازه ۱۲/۹ درصد نسبت به تک پایه افزایش یافته است و به علت یکسان بودن شرایط هیدرولیکی در هر دو پایه، میزان آبستنگی برابر است. در حالت سه پایه عمود بر جریان، عمق آبستنگی در پایه وسط به اندازه ۳۰ درصد افزایش یافته است و در دو پایه کناری میزان آبستنگی تقریباً یکسان و ۲۴/۱۹ درصد نسبت به تک پایه افزایش عمق نشان داده است. یکسان نبودن میزان آبستنگی در پایه وسط نسبت به دو پایه کناری به دلیل تفاوت و بیشتر بودن سرعت جریان در تراز مرکزی کانال نسبت به طرفین می باشد که باعث شده است میزان آبستنگی در پایه وسط به مقدار بیشتری ایجاد شود. در شکل (۹) تغییرات آبستنگی در این حالت نشان داده شده است. پروفیل گودال آبستنگی در حالت دو پایه عمود بر جریان در شکل (۱۰) به عنوان مثال آورده شده است که گستردگی گودال آبستنگی بهوضوح مشخص می باشد.

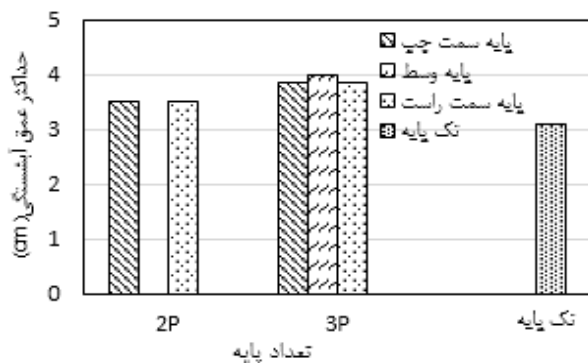
بحث و نتایج

میزان آبستنگی در حالت گروه پایه در جهت جریان به منظور مقایسه میزان آبستنگی در حالت گروه پایه با تک پایه در زمان تعادل ۵ ساعت، ابتدا آزمایش روی پایه به قطر ۲ سانتیمتر انجام گرفت و مشاهده شد که بیشترین آبستنگی در ساعت اولیه تشکیل می شود و پس از ۵ ساعت از شروع ۳/۱ آزمایش، گودال آبستنگی به صورت منظم و با حداقل عمق ۲/۱ سانتیمتر در اطراف پایه شکل می گیرد که پروفیل آن در شکل (۷) نشان داده شده است. در گروه پایه تعداد و فاصله بین پایه ها فاکتور بسیار مهمی در میزان آبستنگی شکل گرفته اطراف پایه ها می باشد که در اینجا با انتخاب دو و سه پایه با فاصله ۲.۵D که مطابق با مطالعات Hannah (1978) بیشترین تأثیر عامل تقویت کننده مشاهده شده است، میزان آبستنگی بررسی شد. مشاهده شد که در حالت گروه پایه دوتایی در جهت جریان میزان آبستنگی در پایه اول به دلیل تأثیر عامل تقویت کننده به اندازه ۱۶/۱۳ درصد نسبت به تک پایه افزایش دارد و در پایه پشتی به دلیل وجود پایه بالادست و عامل حفاظت کنندگی آن،

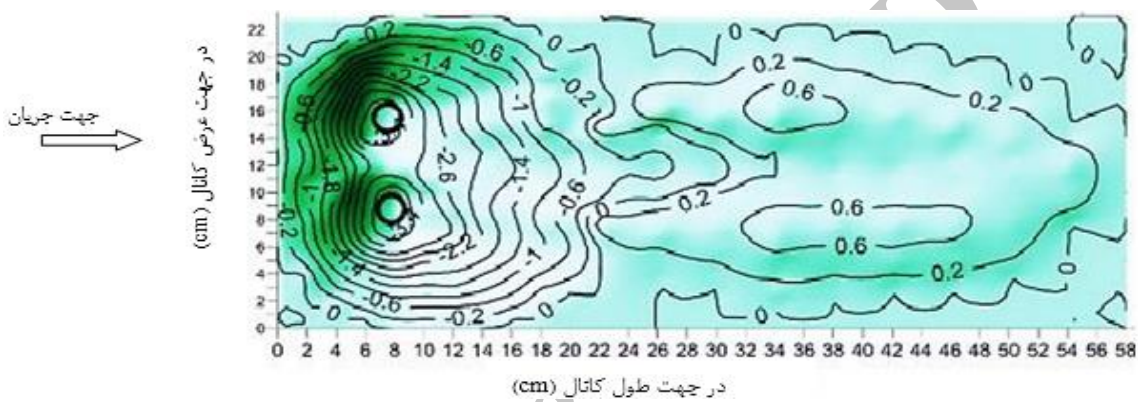


شکل ۷. پروفیل گودال آبستنگی اطراف تک پایه به قطر ۲ سانتیمتر

میزان آبستنگی در حالت گروه پایه در جهت عمود بر جریان در حالتی که پایه ها عمود بر جریان هستند در فواصل کم به علت تداخل و فشردگی گرداب های نعل اسی بین پایه ها و همچنین اضافه شدن آبستنگی در اثر تنگ شدن مقطع ناشی از ضخامت پایه ها در برابر جریان به آبستنگی موضعی تک تک پایه ها، در این حالت میزان آبستنگی کل بیشتر از حالتی است که پایه ها در جهت جریان هستند. Adiban et al. (2002) بیان نمودند که هر چه فاصله بین پایه ها کمتر باشد ارتفاع بستر بین پایه ها که همان ناحیه تأثیر گرداب های نعل اسی می باشد بیشتر کاهش می یابد و این کاهش ارتفاع باعث افزایش سرعت جریان های ایجاد شده در این ناحیه می شود که باعث می شود مواد بستر سریع تر و بیشتر فرسایش یابند که در اینجا نیز مشاهده شده است به طوری که در حالت دو پایه عمود بر جریان، عمق آبستنگی در هر دو پایه



شکل ۹. تغییرات آبشنستگی گروه پایه در جهت عمود بر جریان



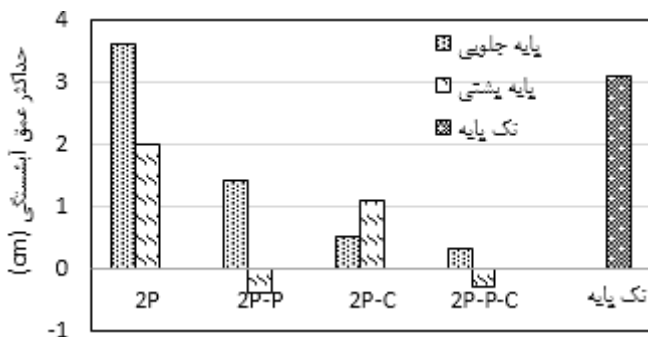
شکل ۱۰. پروفیل گودال آبشنستگی در حالت دو پایه عمود بر جریان

نسبت به تک پایه ۶۷/۷۴ درصد و نسبت به گروه پایه بدون طوق ۷۲/۲۲ درصد کاهش نشان داده است. در پایه دوم نیز عمق آبشنستگی نسبت به تک پایه ۶۴/۵۲ درصد کاهش پیدا کرده است که این نسبت به حالت بدون طوق ۴۵ درصد می‌باشد؛ بنابراین طوق مربعی تأثیر بیشتری در کاهش آبشنستگی پایه جلویی نشان داده است و اثر تقویت‌کنندگی پایه پشتی بر پایه جلویی را کنترل کرده است در حالی که شمع‌های فدا شونده تأثیر حفاظتی بیشتری در پایه پشتی دارند. استفاده ترکیبی طوق مربعی و شمع فداشونده در هر دو پایه باعث کاهش شدید آبشنستگی شده است به‌گونه‌ای که در پایه جلویی باعث کاهش ۸۰/۶۵ درصدی آبشنستگی نسبت به تک پایه و کاهش ۸۳/۳۳ درصدی آبشنستگی نسبت به حالت بدون حفاظ شده است و در پایه پشتی نیز باعث کاهش ۱۰۹/۶۸ درصدی آبشنستگی نسبت به تک پایه و همچنین کاهش ۱۱۵ درصدی نسبت به حالت بدون شمع و طوق شده است که باعث تجمع رسوب در اطراف پایه پشتی شده است؛ بنابراین ترکیب شمع‌های فدا شونده و طوق مربعی باعث تعادل و بهمود بخشی اثر آن‌ها در کاهش آبشنستگی در هر دو پایه نسبت به کاربرد جدآگانه آن‌ها شده است. در استفاده ترکیبی شمع‌های فدا شونده و طوق، شمع‌های

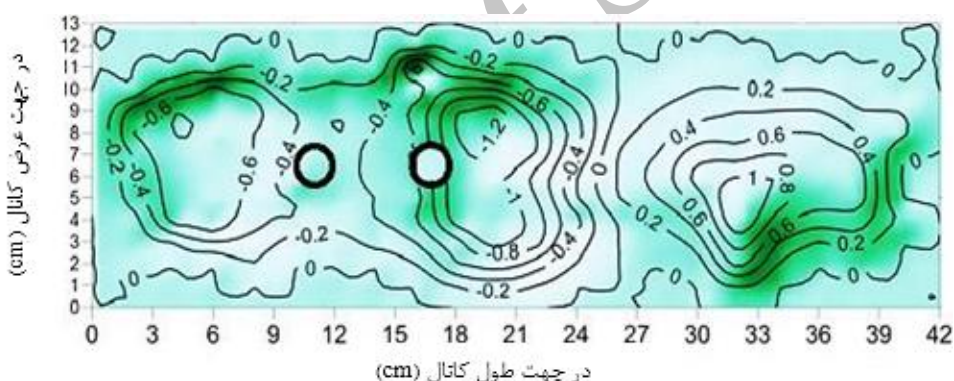
بررسی تأثیر شمع‌های فدا شونده و طوق در آبشنستگی گروه پایه دوتایی در جهت جریان
شماع‌های فداشونده با انحراف جریان به طرفین پایه‌ها و کاهش تأثیر گرداب‌های جاری و جریان‌های رو به پایین، باعث تأخیر در شروع آبشنستگی نسبت به حالت بدون استفاده از شمع می‌شوند همچنین با گذشت زمان باعث کاهش عمق آبشنستگی در هر دو پایه شده‌اند اما تأثیر بیشتری در کاهش آبشنستگی اطراف پایه پشتی نشان داده‌اند به‌گونه‌ای که باعث رسوب‌گذاری در اطراف این پایه شده‌اند که ناشی از انتقال رسوبات از گودال آبشنستگی پایه جلویی می‌باشد که باعث شده است میزان آبشنستگی در این پایه نسبت به تک پایه ۱۱۲/۹ درصد و نسبت به گروه پایه بدون کاربرد شمع ۱۲۰ درصد کاهش یابد و میزان آبشنستگی به صفر بررسد. در پایه جلویی نیز عمق آبشنستگی نسبت به تک پایه ۵۴/۸۴ درصد کاهش یافته است که نسبت به حالت دو پایه بدون استفاده از شمع، ۶۱/۱۱ درصد کاهش می‌باشد؛ بنابراین استفاده از شمع‌های فداشونده، اثر حفاظتی پایه پشتی را تقویت کرده است و در عین حال اثر تقویت‌کنندگی پایه جلویی را نیز کاهش می‌دهد. استفاده از طوق مربعی نیز باعث کاهش آبشنستگی در هر دو پایه شده است به‌گونه‌ای که در پایه اول عمق آبشنستگی

فداشونده با اصلاح الگوی جریان و طوق مربعی با حفاظت از دوتایی، دو پایه همراه با شمع‌های فداشونده، دو پایه همراه با طوق و دو پایه همراه با شمع‌های فداشونده و طوق می‌باشد. در شکل (۱۲) پروفیل گودال آبشنستگی در حالت دو پایه در جهت جریان همراه با طوق مربعی نشان داده شده است.

فداشونده با اصلاح الگوی جریان و طوق مربعی با حفاظت از بستر در برابر گرداب‌های حاصل، میزان آبشنستگی بهشت کاهش پیداکرده است. در شکل (۱۱) تغییرات آبشنستگی گروه‌پایه دوتایی در جهت جریان با کاربرد روش‌های طوق، شمع‌های فداشونده و همچنین ترکیب آن‌ها نشان داده شده است و علائم



شکل ۱۱. مقایسه روش‌های کاهش آبشنستگی در گروه‌پایه دوتایی در جهت جریان



شکل ۱۲. پروفیل گودال آبشنستگی در حالت G2-Cq

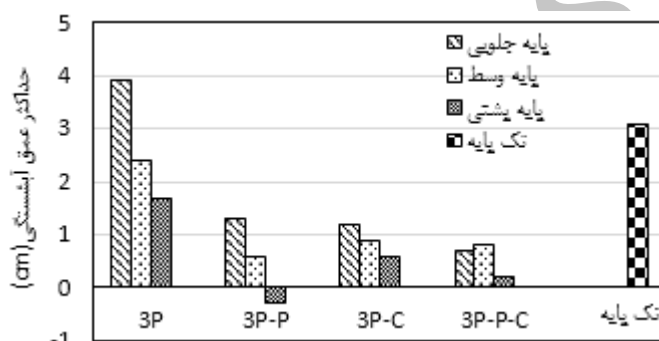
حالات گروه‌پایه سه‌تایی در جهت جریان، شمع‌های فداشونده بیشترین تأثیر را در کاهش آبشنستگی پایه پشتی دارند به‌گونه‌ای که باعث تجمع رسوب در این پایه شده‌اند. در مقایسه با شمع‌های فداشونده طوق مربعی بیشترین تأثیر کاهش آبشنستگی را به ترتیب در پایه جلویی، پشتی و پایه وسط نشان داده است و باعث کاهش آبشنستگی در هر سه پایه شده است به‌گونه‌ای که در پایه جلویی به میزان ۶۱/۲۹ درصد آبشنستگی را نسبت به حالت تک پایه کاهش داده است و ۶۹/۲۳ درصد نسبت به گروه‌پایه بدون طوق کاهش آبشنستگی نشان داده است؛ بنابراین استفاده از طوق اثر تقویت‌کنندگی را کنترل می‌کند. همچنین استفاده از طوق باعث کاهش آبشنستگی در پایه وسط به مقدار ۷۱/۶۱ درصد کاهش نسبت به تک پایه و ۶۳/۳۳ درصد کاهش نسبت به گروه‌پایه بدون حفاظ نشان داده است که این در پایه سوم به ترتیب ۸۰/۶۴ درصد و ۶۴/۷ درصد کاهش می‌باشد؛ بنابراین طوق بیشترین تأثیر را در کاهش

بررسی تأثیر شمع‌های فداشونده و طوق در آبشنستگی گروه‌پایه سه‌تایی در جهت جریان

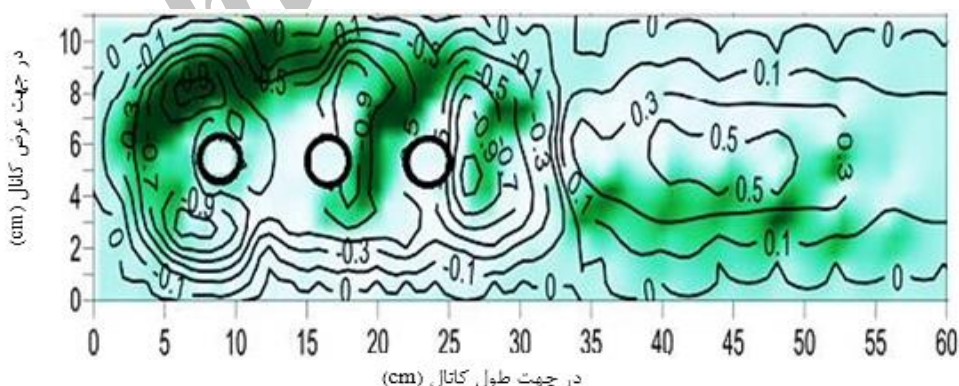
در حالت گروه‌پایه سه‌تایی در جهت جریان، شمع فداشونده در هر سه پایه نقش مثبتی در کاهش آبشنستگی نشان داده است. به‌گونه‌ای که در پایه جلویی به اندازه ۵۸/۰۶ درصد آبشنستگی را نسبت به تک پایه کاهش داده است و همچنین ۶۶/۶۶ درصد نسبت به گروه‌پایه بدون شمع، آبشنستگی را در پایه جلویی کاهش داده است؛ بنابراین شمع‌های فداشونده اثر تقویت‌کنندگی پایه‌های پشتی بر آبشنستگی پایه جلویی را تا حدودی کنترل کرده است. در پایه وسط نیز میزان آبشنستگی به‌اندازه ۸۰/۶۴ درصد نسبت به تک پایه کاهش داده است که این نسبت به حالت گروه‌پایه بدون استفاده از شمع‌های فداشونده ۷۵ درصد می‌باشد و در پایه سوم نیز ۱۰۹/۶۸ درصد نسبت به تک پایه و ۱۱۷/۶۴ درصد نسبت به حالت بدون شمع آبشنستگی کاهش پیداکرده است؛ بنابراین می‌توان گفت که در

نشانگر آبشنستگی نهایی اطراف پایه‌ها نمی‌باشد و پیش‌بینی می‌شود که در مدت زمان بیشتر از ۵ ساعت نتایج حاصله متفاوت باشد. Pirmohammadi و Heidarpour (2006) با بررسی عملکرد طوق در کاهش آبشنستگی گروه‌پایه سری دوتایی و سه‌تایی در جهت جریان به این نتیجه رسیدند که آبشنستگی پایه‌های دارای طوق با یک تأخیر زمانی نسبت به پایه بدون طوق آغاز می‌شود و وجود طوق زمان رسیدن به تعادل را افزایش می‌دهد و عمق آبشنستگی را کاهش می‌دهد. همچنانی به این نتیجه رسیدند که تأثیر طوق در کاهش عمق آبشنستگی در پایه‌های عقبی نسبت به پایه‌های جلویی بیشتر می‌باشد. در شکل (۱۴) پروفیل گودال آبشنستگی در حالت سه پایه در جهت جریان همراه با طوق مربعی به عنوان نمونه آورده شده است که تغییرات ابعاد گودال آبشنستگی به‌وضوح مشخص می‌باشد.

آبشنستگی پایه جلویی نشان داده است و همچنانی اثر حفاظتی پایه‌های پشتی را نیز کنترل کرده است. استفاده ترکیبی از شمع‌های فداشونده و طوق مربعی نیز بیشترین تأثیر مثبت را به ترتیب بر پایه پشتی، جلویی و پایه وسط نشان داده است به‌گونه‌ای که به ترتیب $93/55$ درصد، $77/42$ درصد و $74/19$ درصد گاهش نسبت به تک پایه داشته است که این نسبت به گروه‌پایه بدون حفاظت به ترتیب $88/23$ درصد، $82/05$ درصد و $66/66$ درصد کاهش می‌باشد؛ بنابراین نسبت به دو روش دیگر بیشترین تأثیر را در کاهش آبشنستگی پایه پشتی نشان داده است و همچنانی باعث کنترل اثر تقویت‌کنندگی پایه جلویی شده است. در شکل (۱۳) تغییرات آبشنستگی در این حالت نشان داده شده است. لازم به ذکر می‌باشد که این نتایج در مدت زمان ۵ ساعت از شروع آزمایش‌ها حاصل شده است و



شکل ۱۳. مقایسه روش‌های کاهش آبشنستگی در گروه‌پایه سه‌تایی در جهت جریان



شکل ۱۴. پروفیل گودال آبشنستگی در حالت G3-Cq

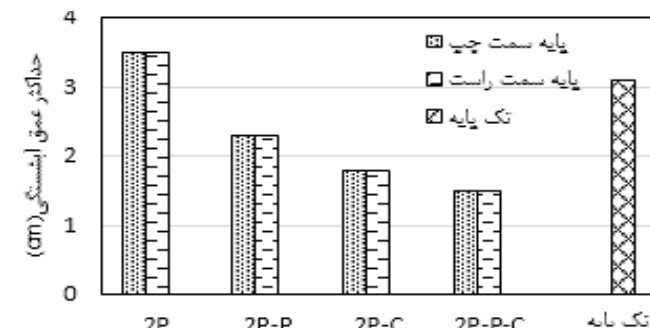
$48/57$ درصد کاهش نسبت به گروه دوتایی بدون حفاظ نشان داده است و این در حالی است که ترکیب شمع‌های فداشونده و طوق، میزان آبشنستگی را به ترتیب به اندازه $51/61$ درصد نسبت به تک پایه و $57/14$ درصد نسبت به حالت بدون حفاظ کاهش داده است؛ بنابراین ترکیب شمع‌های فداشونده و طوق بیشترین تأثیر را در کاهش آبشنستگی نسبت به دو روش دیگر نشان داده است. همچنانی با مقایسه دو روش شمع‌های فداشونده و طوق

بررسی تأثیر شمع‌های فداشونده و طوق در آبشنستگی گروه‌پایه دوتایی در جهت عمود بر جریان

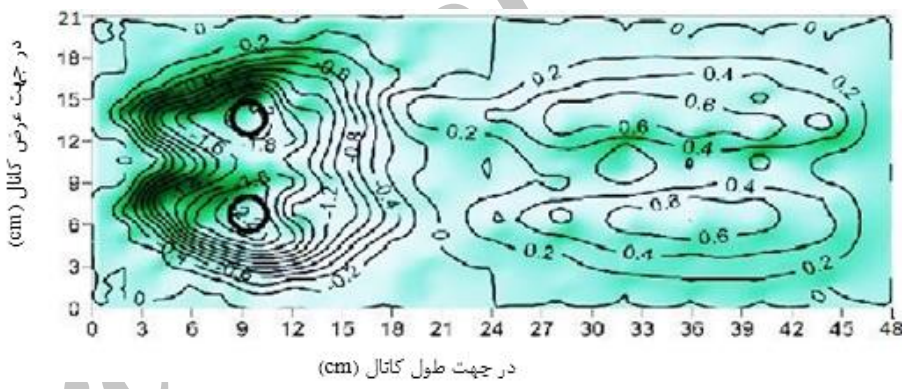
در گروه‌پایه دوتایی عمود بر جریان به دلیل یکسان بودن شرایط هیدرولیکی در هر دو پایه میزان اثرگذاری روش‌های حفاظتی یکسان است. استفاده از شمع‌های فداشونده، آبشنستگی را به میزان $25/8$ درصد نسبت به حالت تک پایه کاهش داده است که این نسبت به گروه‌پایه بدون حفاظ $34/28$ درصد کاهش می‌باشد. طبق مربعی نیز $41/93$ درصد نسبت به تک پایه و

طوق شسته شوند و عمق گودال آبشنستگی افزایش یابد و کارایی طوق در کنترل آبشنستگی کم شود بنابراین استفاده از شمعهای فداشونده به عنوان تغییردهنده الگوی جریان در اطراف پایه‌ها در ترکیب با طوقهای مربعی می‌تواند راهکاری مناسب جهت کاهش پتانسیل آبشنستگی اطراف پایه‌ها باشد. در شکل (۱۶) پروفیل گودال آبشنستگی در حالت دو پایه عمود بر جریان همراه با شمعهای فداشونده نشان داده شده است.

در کاهش آبشنستگی، کاربرد طوق تأثیر بیشتری نشان داده است. تغییرات آبشنستگی در این حالت در شکل (۱۵) نشان داده شده است. پیش‌بینی می‌شود که استفاده از طوقهای مربعی در مدت زمان تعادل بیشتر، به دلیل تشکیل شیارهای آبشنستگی ناشی از برخورد جریان به لبه‌های تیز طوق در پشت پایه و گسترش آن‌ها با زمان، بنابراین با گذشت زمان و برخورد شیارهای آبشنستگی با پایه‌ها و شسته شدن ذرات، رسوبات زیر



شکل ۱۵. مقایسه روش‌های کاهش آبشنستگی در گروه‌پایه دوتایی در جهت عمود بر جریان



شکل ۱۶. گودال آبشنستگی در حالت G2V-P

نسبت به حالت بدون حفاظ کاهش داده است که این در پایه‌های کناری به ترتیب $41/93$ درصد و $53/24$ درصد کاهش می‌باشد. همچنین طوق مربعی نیز میزان آبشنستگی در پایه وسط را به میزان $45/16$ درصد نسبت به حالت تک پایه و $57/5$ درصد نسبت به گروه‌پایه بدون استفاده از طوق کاهش داده است که این در پایه‌های کناری به ترتیب برابر با $51/61$ درصد و 61 درصد کاهش می‌باشد؛ بنابراین استفاده از طوق مربعی تأثیر بیشتری نسبت به شمعهای فداشونده در کاهش آبشنستگی گروه‌پایه سه‌تایی عمود بر جریان نشان داده است. استفاده ترکیبی از شمعهای فداشونده و طوق مربعی بیشترین تأثیر را در کاهش آبشنستگی نشان داده است که به این دلیل می‌باشد که در روش ترکیبی، شمعهای فداشونده با تغییر الگوی جریان نزدیک شونده به پایه و همچنین طوقهای مربعی نیز با خنثی کردن اثر فرسایندگی گرداب‌ها بر بستر رسوبات، میزان

بررسی تأثیر شمعهای فداشونده و طوق در آبشنستگی گروه‌پایه سه‌تایی در جهت عمود بر جریان در گروه‌پایه سه‌تایی عمود بر جریان در پایه وسط به دلیل قرارگیری در تراز مرکزی کاتال و بیشتر بودن سرعت در این تراز نسبت به ترازهای دیگر و همچنین افتادن گودال آبشنستگی دو پایه کناری بر گودال آبشنستگی پایه وسط، بنابراین میزان آبشنستگی در این پایه نسبت به دو پایه کناری بیشتر می‌باشد و در دو پایه کناری به دلیل یکسان بودن شرایط هیدرولیکی میزان آبشنستگی یکسان به دست آمده است؛ بنابراین در کاربرد شمعهای فداشونده، طوق و همچنین ترکیب آن‌ها تأثیر یکسانی در کاهش آبشنستگی دو پایه کناری حاصل شده است و در پایه وسط میزان آبشنستگی اندکی بیشتر از دو پایه دیگر به دست آمده است. به گونه‌ای که شمعهای فداشونده میزان آبشنستگی را در پایه وسط به میزان 29 درصد نسبت به تک پایه و 45 درصد

عملکرد بهتری نسبت به استفاده جدآگانه از هر روش در هر دو پایه دارد به گونه‌ای در پایه پشتی میزان آبشنستگی به صفر رسیده است و در پایه جلویی نیز آبشنستگی به میزان $83/33\%$ کاهش یافته است.

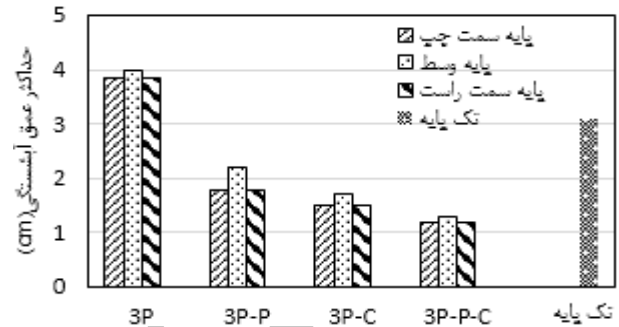
-۲ در گروه پایه سه‌تایی در جهت جریان، استفاده از روش‌های ذکر شده منجر به کاهش آبشنستگی در هر سه پایه شده است. استفاده از شمع‌های فداشونده اثر حفاظتی بیشتری را به ترتیب در پایه پشتی با $117/64\%$ کاهش، پایه وسط با 75% کاهش و پایه جلویی با $66/66\%$ کاهش، نشان داده است. طوق مربعی به ترتیب اثر حفاظتی بیشتری را در پایه جلویی با $69/23\%$ کاهش، پایه پشتی با $64/7\%$ کاهش و پایه وسط با $63/33\%$ کاهش نشان داده است. استفاده از ترکیب این دو روش باعث تعادل و بهبود آبشنستگی در هر سه پایه نسبت به استفاده جدآگانه هر کدام از روش‌ها دارد و به ترتیب تأثیر مثبتی را در کاهش آبشنستگی پایه پشتی با $88/23\%$ کاهش، جلویی با 82% کاهش و پایه وسط با $66/66\%$ کاهش نشان داده است.

-۳ در گروه پایه دوتایی عمود بر جریان، استفاده از روش‌های ذکر شده تأثیر حفاظتی یکسانی را بر هر دو پایه دارد و منجر به کاهش آبشنستگی در هر دو پایه شده است و به ترتیب ترکیب دو روش طوق و شمع فداشونده با $57/14\%$ کاهش، طوق با $48/57\%$ کاهش و شمع فداشونده با $34/28\%$ کاهش اثر بیشتری را در کاهش آبشنستگی نشان داده‌اند.

-۴ در گروه پایه سه‌تایی عمود بر جریان، در استفاده از هر سه روش میزان آبشنستگی در دو پایه کناری به مقدار بیشتری کنترل شده است و در پایه وسط به ترتیب روش ترکیبی با $67/5\%$ کاهش، طوق مربعی با $57/5\%$ کاهش و شمع‌های فداشونده با 45% کاهش در کنترل آبشنستگی تأثیر داشته‌اند.

-۵ استفاده ترکیبی شمع‌های فداشونده و طوق مربعی در همه آرایش‌ها تأثیر بیشتری در کاهش آبشنستگی نشان دادند و با استفاده از این روش هم الگوی جریان مخرب اطراف پایه تغییر می‌کند و هم بستر در برابر گرداب‌های حاصل محافظت می‌شود بنابراین کارایی بیشتری را در کاهش آبشنستگی نشان می‌دهد.

آبشنستگی بهشدت کاهش پیدا می‌کند. به گونه‌ای که باعث شده است میزان آبشنستگی در پایه وسط به اندازه 58 درصد نسبت به تک پایه و $67/5$ درصد نسبت به گروه-پایه بدون حفاظت کاهش پیدا کند. این مقادیر در پایه کناری به ترتیب برابر $61/29$ درصد و $68/83$ درصد کاهش به دست آمده است. در شکل (۱۷) تغییرات آبشنستگی در این حالت نشان داده شده است.



شکل ۱۷. مقایسه روش‌های کاهش آبشنستگی در گروه پایه سه‌تایی در جهت عمود بر جریان

نتیجه‌گیری کلی

در مطالعه حاضر تأثیر استفاده از شمع‌های فداشونده، طوق مربعی و ترکیب این دو روش در کنترل آبشنستگی موضعی گروه پایه‌های دو و سه‌تایی استوانه‌ای واقع در امتداد یک خط با فاصله $2.5D$ در جهت طولی و عرضی جریان و در شرایط آب زلال مورد بررسی قرار گرفته است نتایج حاصل نشان داد که استفاده از هر سه روش منجر به کاهش حداقل عمق آبشنستگی در پایه‌ها می‌شود اما بسته به آرایش پایه‌ها میزان کاهش در اطراف هر کدام از پایه‌ها متفاوت می‌باشد و نتایج زیر به دست آمد:

۱- در حالت گروه پایه دوتایی در جهت جریان، شمع‌های فداشونده با کاهش 120% آبشنستگی، نسبت به پایه پشتی و طوق مربعی با کاهش $72/22\%$ آبشنستگی، نسبت به پایه جلویی اثر حفاظتی بهتری نشان داده است به گونه‌ای که در استفاده از شمع‌های فداشونده میزان آبشنستگی در پایه پشتی به صفر رسیده است. با این حال ترکیب شمع فداشونده با طوق مربعی

REFERENCES

- Adiban, H., Heidarpour, M., and Afzalimehr, H. (2002). The effect of distance of piers on performance of the slot in reducing the local scour at cylindrical bridge pier group. *Proceedings of the Sixth International Seminar on River Engineering*, Shahid Chamran University Press, Ahvaz, Iran. (In Farsi)
- Abdelazim, M. N., Gamal, M. M., Yasser, M. A., and Amira, A. F. (2009). Optimal shape of collar to minimize local scour around bridge pier.

Thirteenth International Water Technology Conference, Zagazig University.

- Ataei-Ashtiani, B., and Beheshti, A.A. (2006). Experimental investigation of clear-water local scour at pile groups. *Journal of Hydraulic Engineering, ASCE*, 132(10), 1100-1104.
- Ataei-Ashtiani, B., and Aslani-Kordkandi, A. (2012). Flow field around side-by-side piers with and without a scour hole. *European Journal of Mechanics. B/Fluids*. 36, 152-166. www.SID.ir

- Babaeyan-Koopaei, K., and Valentine, E.M. (1999). Bridge pier scour in selfformed laboratory channels. *The XXVIII IAHR Congress*, PP: 22-27.
- Beg, M. (2014). Mutual interference of bridge piers placed in staggered arrangement on local scour. *Proceedings of the Seventh International Conference on Scour and Erosion*, Perth, Western Australia, 483–488.
- Beg, M., and Beg, S. (2015). Scour hole characteristics of two unequal size bridge piers in tandem arrangement. *ISH Journal of Hydraulic Engineering*, 21(1), 85–96.
- Bozkuş, Z., and Çeşme, M. (2010). Reduction of scouring depth by using inclined piers. *Canadian Journal of Civil Engineering*, 37(12), 1621–1630.
- Breusers, N. H. C., and Raudkivi, A. J. (1991). *Scouring*. 2nd Hydraulic Structures Design Manual, IAHR, A. A. Balkema, Rotterdam, the Netherlands.
- Chiew, Y.M., and Mellville, B.W. (1987). Local scour around bridge piers. *Journal of Hydraulic Research*, 25(1), 15-26.
- Diwedar, A. S. I. (2013). Investigating the impact of pile group arrangement on local scour around bridge pier using physical model. *Journal of Nile Water Science and Engineering*, 6(2), 12–25.
- Franzetti, S., Malavasi, S., and Piccinin, C. (1994). Sull'erosione alla base delle pile di ponte in acque chiare. Proc., XXIV Convegno di Idraulica e Costruzioni Idrauliche, 2, 13-24 (In Italian).
- Gao, P., Duan, M., Zhong, C., Yuan, Z., and Wang, J. (2013). Current induced scour around single piles and pile groups. *Proceedings of the Twenty-third International Offshore and Polar Engineering*, Alaska, USA, 472–477.
- Ghasemi Gavarti, Z. (2015). Effect of sacrificial pile with slot and collar on reduction of local scour around bridge pier. MS Thesis, Shiraz University, Shiraz, Iran. (In Farsi)
- Haque, M. A., Rahman, M. M., Islam, G. M. T., and Hussain, M. A. (2007). Scour mitigation at bridge piers using sacrificial piles. *International Journal of Sediment Research*, 22(1), 49-59.
- Hannah, C.R. (1978). Scour at pile groups. *Research Rep.* No. 28-3, Civil Engineering, Univ. of Canterbury, Christchurch, New Zealand.
- Heidarpour, M., Afzalimehr, H., and Khodarahmi, Z. (2007). Local scour protection of circular bridge pier groups using slot. *Journal of Agricultural Sciences and Natural Resources*, 14(3). (In Farsi)
- Heidarpour, M., Afzalimehr, H., and Izadinia, E. (2010). Reduction of local scour around bridge pier groups using collar. *International Journal of Sediment Research*, 25(4), 411-422.
- Hosseini, R., and Amini, A. (2015). Scour depth estimation methods around pile groups. *KSCE Journal of Civil Engineering*, 00(0000), 1–13.
- Kumar, V., Ranga Raje, K.G., and Vittal, N. (1999). Reduction of local scour around bridge piers using slots and collars. *Journal of Hydraulic Engineering*, ASCE, 125(12), 1302-1305.
- Melville, B. W., and Hadfield, A. C. (1999). Use of sacrificial pilles as pier scour countermeasures. *Journal of hydraulic engineering*, ASCE, 125, 50.
- Melville, B. W., and Sutherland, A. J. (1989). Design method for local scour at bridge pier. *Journal of hydraulic engineering*, ASCE, Univ. of Auckland, Auckland, New Zealand, 114(10), 22-30.
- Melville, B. W., and Coleman, S. E. (2000). *Bridge scour*. Water Resources Publications, Highlands Ranch, Colorado, USA.
- Movahedi, N., Dehghani, A.A., Aarabi, M.J., and Zahiri, A.R. (2014). Experimental study of local scouring around two side-by-side piers with raft footing. *Journal of Water and Soil Conservation*, 21(1).
- Nazariha, M. (1996). *Design relationships for maximum local scour depth for bridge pier groups*. Ph. D Dissertation, University of Ottawa, Canada. pp. 212.
- Nouh, M. (1986). Local scour at pile groups in meandering channels. *Proc. Of IAHR, Symp. On Scale Effects in Modeling Sediment Transport Phenomenon*, Toronto, Canada, 25-28 Aug, 164-179.
- Özalp, M. C. (2013). *Experimental investigation of local scour around bridge pier groups*. MSc thesis, Middle East Technical University, Ankara, Turkey.
- Pirmohammadi, R., and Heidarpour, M. (2006). Comparision of the performance of collar in scour redudation in group of two or three cylindrical bridge pier. *Seventh International Congress of Civil Engineering*, Tarbiat Modares University, Tehran, Iran. (In Farsi)
- Raudkivi, A.J. (1998). *Loose Boundary Hydraulics. A. A. Balkema, Rotterdam, the Netherland*.
- Raudkivi, A.J., and Ettema, R. (1983). Clear-water scour at cylindrical piers. *Journal of Hydraulic Engineering*, 109(3), 338–350.
- Shafaei - Bejestan, M. (2011). *Hydraulic of sediment transport* (2th ed). Shahid Chamran University Press, Ahvaz, Iran. (In Farsi)
- Singh, C. P., Setia, B. and Verma, D.V.S. (2001). Collar-sleeve combination as a scour protection device around a circular pier. *Proc 29 th IAHR Congress*, 202-209.
- Tafarojnoruz, A., Gaudio, R., and Calomino, F. (2012). Evaluation of flow-altering countermeasure against bridge pier scour. *Journal of Hydraulic Engineering*, American Society of Civil Engineers, 138(3), 297-305.
- Vittal, N., Kothyari, U.C., and Haghigat, M. (1994). Clear-water scour around bridge pier group. *ASCE, Journal of Hydraulic Engineering*, 120(11), 1309-1318.
- Zarrati, A.R., Nazariha, M., and Mashahir, M.B. (2006). Reduction of local scour in the vicinity of bridge pier groups using collars and riprap. *Journal of Hydraulic Engineering*, 132(2), 154-162.